

LCMS-9030 用于牛血清白蛋白的鉴定研究

LCMS-QTOF-040

摘要： 本文采用岛津 LCMS-9030 飞行时间高分辨液质联用仪对牛血清白蛋白 (BSA) 进行鉴定研究，并结合岛津 LabSolutions 和 pFind 软件对 BSA 酶解肽段进行匹配打分。结果显示，在胰蛋白酶酶切的情况下，使用两种计算软件对 BSA 二级结构确认的匹配度分别为 82.4% 和 85.7%。利用 Byonic 软件对肽段上的修饰基团进行解析，结果显示，除固定修饰乙酰胺化外，BSA 仅存在少量的 N-脱酰胺 (Deamidated) 等可变修饰。该方法快速、准确，分析精确度高，为蛋白类样品的肽质谱图分析提供参考。

关键词： Q-TOF 蛋白组学 BSA

基于液质联用技术的蛋白鉴定研究主要有两种思路：自下而上 (Bottom-up) 和自上而下 (Top-down)。最常用的是“自下而上”，也就是我们常说的鸟枪法 (shotgun)，是一种依赖数据库的策略，它充分利用了蛋白质自身的特点，即蛋白质可以被特定的酶在特定的位点酶切，酶切所获得的特异性肽段在质谱二级碎片分析时，通常会形成三种特征离子 *b* 离子，*ax* 离子和 *cz* 离子。通过质谱测定这些特征的二级碎片信息，结合理论谱库相似度匹配，从而实现肽段的鉴定，再根据肽段序列推导出蛋白质序列。因此肽质谱图的匹配 (Peptide Spectrum Matching, PSM) 是一个非常重要的指标。PSM 常常借助搜库软件实现，常见的如 SEQUEST、Mascot、X! Tandem、Comet 以及 Max Quant、pFind 软件等。这些搜库软件所使用的统计学打分算法通常有两种：正反库策略 (target-decoy,

TDA) 和基于经验贝叶斯 (EB) 的打分。对于打分结果大部分软件都要求进行假发现率 (False Discovery Rate, FDR) 和酶切特异性 (Digestion Specific) 控制。而 PSM 匹配的准确性与未知翻译后修饰，质谱数据的质量准确度，肽段丰度等因素有关。岛津 LCMS-9030 采用了 UF-FlightTube 飞行管精准温控技术，保证了亚 ppm 的质量精度，同时，传承了 LCMS-8060 旗舰级三重四极杆质谱的高效、快速离子传输系统，结合新型漏斗形 MCP 检测器，拥有 fg 级灵敏度，有利于低丰度肽段测定。

本研究采用胰蛋白酶对 BSA 进行酶切，MS Scan +DDA 进行数据采集，质谱数据经 MSConvert 软件转换为 mzML 格式，经 pFind 软件 (中国科学院计算所) 和 Byonic 软件 (Protein Metrics Inc.) 分别进行蛋白鉴定研究，并对翻译后修饰进行分析。

■ 实验部分

1.1 仪器

本实验使用高效液相色谱仪 LC-30AD 与四极杆飞行时间质谱仪 LCMS-9030 联用系统。具体配置为：

系统控制器：CBM-20Alite

脱气机：DGU-20A₅

输液泵：LC-30AD×2

自动进样器：SIL-30AC

柱温箱：CTO-20AC

色谱工作站：LabSolutions Ver. 5.99

1.2 分析条件

液相条件

色谱柱：Shim-pack GISS C18 (150 mm× 2.1 mm I.D., 1.9 μm)，PN:227-30048-03，岛津 (上海) 实验器材有限公司

流动相：A 相 - 0.1% 甲酸水溶液；B 相 - 0.1% 甲酸乙腈溶液

流速：0.3 mL/min

柱温：40°C

进样体积：1 μL

洗脱方式：梯度洗脱，B 相初始浓度为 2%，时间程序见表 1。

表 1 梯度洗脱时间程序

Time(min)	Module	Command	Value
2.00	Pump	B.Conc	2
30.00	Pump	B.Conc	25
33.00	Pump	B.Conc	60
36.00	Pump	B.Conc	60
37.00	Pump	B.Conc	2
40.00	Controller	Stop	

质谱条件

离子化模式: ESI⁺

雾化气流速: 3.0 L/min

加热气流速: 10.0 L/min

接口温度: 300°C

DL 温度: 250°C

加热模块温度: 400°C

干燥气流速: 10.0 L/min

扫描模式: MS 和 MS/MS (DDA)

接口电压: 4.5 kV

事件时间: 0.1 s

■ 样品前处理

用 50 mM 碳酸氢铵做溶剂, 将 BSA 粉末制剂配制成 0.1 g/mL 的溶液, 然后用碳酸氢铵稀释至 100 µg/mL, 吸取 50 µL 该溶液样品, 加入 47 µL 碳酸氢铵溶液, 加 500 mM 二硫苏糖醇 (DTT) 1 µL, 在 37°C 下震荡 60 min, 结束后加入 1.5 µL 碘乙酰胺 (IAA) 溶液 (1 M), 在室温条件下避光震荡 30 min, 然后加入 1 µL 胰蛋白酶溶液 (含 1 µg 胰蛋白酶), 在 37°C 下反应 12 小时, 酶解结束后加入 1 µL TFA 溶液终止酶解反应, 然后转入低吸附 PP 材质的样品瓶, 进行分析。

■ 结果与讨论

3.1 BSA 肽段色谱图

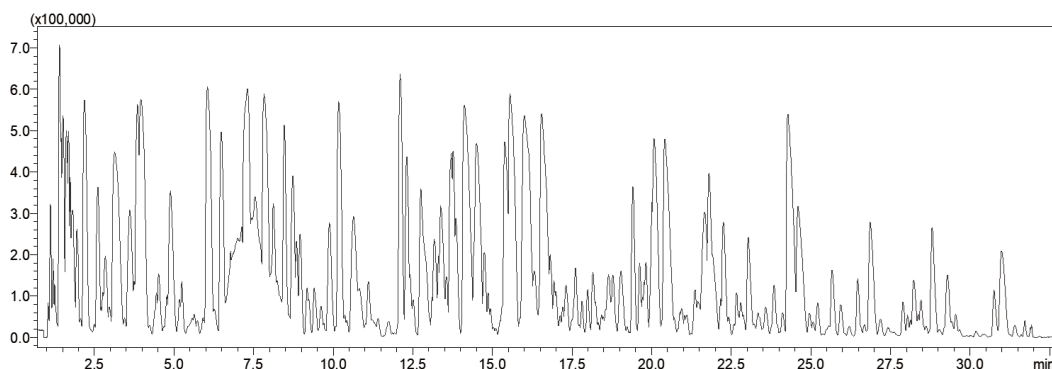


图 1 BSA 酶解后的 BPC 图

3.2 肽质谱图匹配

将 LabSolutions 采集的数据直接转换为 mzML 格式, 导入 pFind 软件, 并导入 BSA 的氨基酸序列文件 (P02769, UniProt), 进行多肽质谱匹配和翻译后修饰分析。pBuild 软件用于蛋白质搜库结构查看, 在控制 FDR<1% 条件下, 有 191 张库匹配二级质谱图, 氨基酸序列覆盖率为 82.4% (图 2)。酶切特异性匹配良好, 总体达到 98.3%。肽段 AA 长度分布 6~30 之间, 其中 15 肽占比最高。实测一级质谱误差 1.58 ± 3.58 ppm, 质谱质量精度优异。识别到修饰类型 10 种, 如半胱氨酸 C- 乙酰胺化, C- 乙酰胺化修饰 (Cam C, +57.021 Da) 比例高达 35.6%。除此之外, 还存在赖氨酸 K 的乙酰胺化, N- 脱酰胺化 (deamidated), 可变修饰比例均低于 3%。

#	AC	DE	SQ Length	PSM Count	Coverage	Score	Group	Flag
1	sp P02769 ALB	Albumin OS=Bos taurus OX=9913 GN=ALB PE=1 SV=4	607	191	82.4%	1.09		

Rank	Sequence	Score	Modifications
[1]	MKWVTFISLLLLFSSAYSRGVFRRDTHKSEIAHRFKDLGEEHFKGLVLIAFSQYLQQCPF [60]		Carbamidomethyl[C]: 75 Lys->CamCys[K]: 8 Tyr->Ala[Y]: 7 Lys->Gln[K]: 7 Pyridylacetyl[K]: 6 Xlink_DSS[259][K]: 5 Delta_H(6)C(3)O(1)[H]: 4 Delta_H(6)C(3)O(1)[C]: 4 mTRAQ_13C(6)15N(2)[K]: 3 Pro->Lys[P]: 3 CAMthiopropionyl[K]: 3 His->Gly[H]: 3 Delta_H(8)C(6)O(1)[K]: 3 Xlink_BS2G[114][K](Glutratylation[K): 3 Gln->Trp[Q]: 3 Diisopropylphosphate[AnyN-term]: 2 Cys->Asn[C]: 2 Glu[E]: 2 Deamidated[N]: 2 NEIAA_2H(5)[Y]: 2
[61]	DEHVKLVNELTEFAKTCVADESHAGCEKSLHTLFGDELCKVASLRETYGDMADCCEKQEP [120]		
[121]	ERNECFLSHKDDSPDLKPKLPDNTLCDEFKADEKFKWGKYLEIARRHPYFYAPELLEY [180]		

图 2 BSA 酶解后序列覆盖图

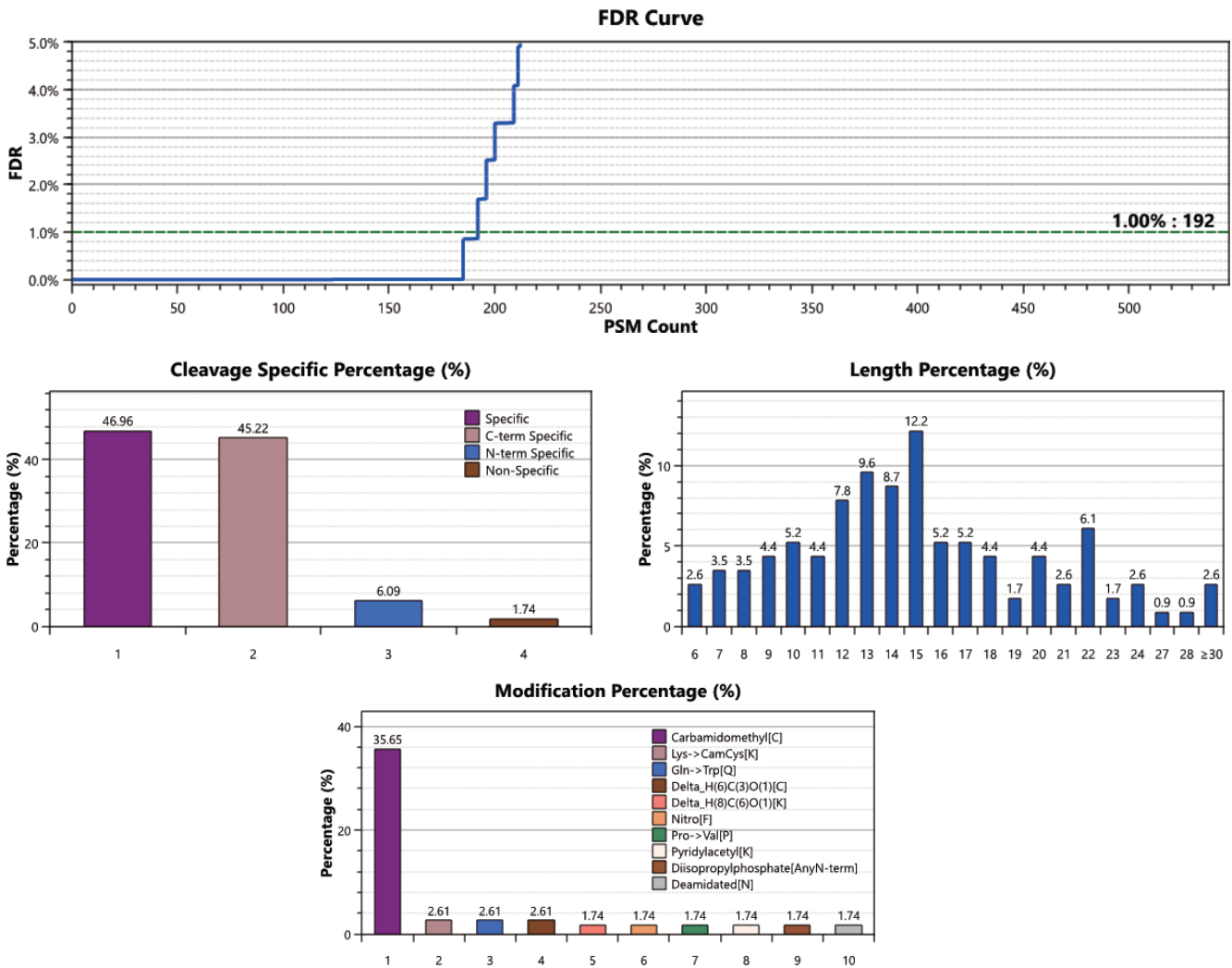


图 3 PSM 结果汇总图

为了交叉验证不同软件 PSM 打分结果，数据导入 Byonic 软件分析，氨基酸序列覆盖度可达 85.7%，与 pFind 软件计算的 PSM 结果 82.4% 相当。

>NP_851335.1 albumin precursor [Bos taurus]

```

10 20 30 40 50 60 70 80 90 100 110
MKWVTFISLLLLFSSAYSRSRVFRDRTHKSEIAHRFKDLGEEHFKGLVLIAFSQYLQQCPFDEHVKLVNELTEFAKTCVADESHAGCEKSLHTLFGDELCKVASLRETYGD
120 130 140 150 160 170 180 190 200 210 220
MADCCKEQEPERNECFLSHKDDSPDLPLKLPDPNTLCDEFKADEKKFWGKYLIEIARRHPEYFYAPELLYYANKYNGVVFQECQAEDKGACLLPKIETMREKVLTSARQR
230 240 250 260 270 280 290 300 310 320 330
LRCASIQKQGERALKAWSVARLSQKFKAEFVEVTKLVTDLTKVHKECCHGDLLCADDRADLAKYICDNQDTISSKLECCDKPPLLEKSHCIAEVEKDAIPENLPPLTA
340 350 360 370 380 390 400 410 420 430 440
DFAEDKDVCKNYQEAQDAFLGSLFYEYSRRHPEYAVSVLLRLAKEYEATLEECCAADDPHACYSTVFDKLEKHLVDEPQNLKQNCQDFEKLGEYGFQNALIVRYTRKVPQ
450 460 470 480 490 500 510 520 530 540 550
VSTPTLVEVSRSLGKVGTRCCTKPESERMPC TEDYLSLILNRLCVLHEKTPVSEKVTKCTESLVNRRRPFSAITPDETYVPAFDEKLETFHADICTLPDTEKIQIKQT
560 570 580 590 600
ALVELLKHKKATEEQQLKTVMENFVAFVDKCCAADDKEACFAVEGPKLVVSTQTALA

```

图4 覆盖度图 (Byonic)

PMi-PTM 模块对氨基酸进行修饰研究，修饰主要有脱酰胺 (deamidated) 氧化 (Oxidation/15.9949)、脱硫酸化 (Dethiomethyl/-48.0034)、谷氨酰胺焦谷氨酸化 (Gln->pyro-Glu/-17.0265) 等。如下图 5 所示，在多肽 TVMENFVAFVDK 中，M 发生脱硫酸化修饰，比例达到 47.2%。

Sequence (unformatted)	Mod. Names	Protein name	Mod. AAs	Var. Pos. Protein	Labels	MS Id ← MS Alias name ←	1 BSA DDA profile_005 (%) ↓
TVMENFVAFVDK	Dethiomethyl/-48.0034	sp P02769 ALBU_BOVIN Albumin OS=Bos taurus OX-9913 GN=ALB PE=1 SV=4	M	571			47.2
QEPER	Gln->pyro-Glu/-17.0265	sp P02769 ALBU_BOVIN Albumin OS=Bos taurus OX-9913 GN=ALB PE=1 SV=4	Q	118			37.5
IETMR	Dethiomethyl/-48.0034	sp P02769 ALBU_BOVIN Albumin OS=Bos taurus OX-9913 GN=ALB PE=1 SV=4	M	208			28.3
QTALVELLK	Gln->pyro-Glu/-17.0265	sp P02769 ALBU_BOVIN Albumin OS=Bos taurus OX-9913 GN=ALB PE=1 SV=4	Q	549			19.1
QIK	Gln->pyro-Glu/-17.0265	sp P02769 ALBU_BOVIN Albumin OS=Bos taurus OX-9913 GN=ALB PE=1 SV=4	Q	545			18.8
LGEYGFQNALIVR	Deamidated/0.9840	sp P02769 ALBU_BOVIN Albumin OS=Bos taurus OX-9913 GN=ALB PE=1 SV=4	N	428			6.41
AWSVAR	Oxidation/15.9949	sp P02769 ALBU_BOVIN Albumin OS=Bos taurus OX-9913 GN=ALB PE=1 SV=4	W	237			1.97
NYQEAQ	Deamidated/0.9840	sp P02769 ALBU_BOVIN Albumin OS=Bos taurus OX-9913 GN=ALB PE=1 SV=4	N	341			1.73
IETMR	Oxidation/15.9949	sp P02769 ALBU_BOVIN Albumin OS=Bos taurus OX-9913 GN=ALB PE=1 SV=4	M	208			1.69

图5 氨基酸修饰统计 (Byonic)

根据显示二级质谱图校对肽段的碎片，尤其是带修饰的碎片基团，以肽段 K.QNCDQFEK.L 为例，可以根据二级质谱图清晰判断每个碎片的断裂位置以及修饰位点 (图 6)。

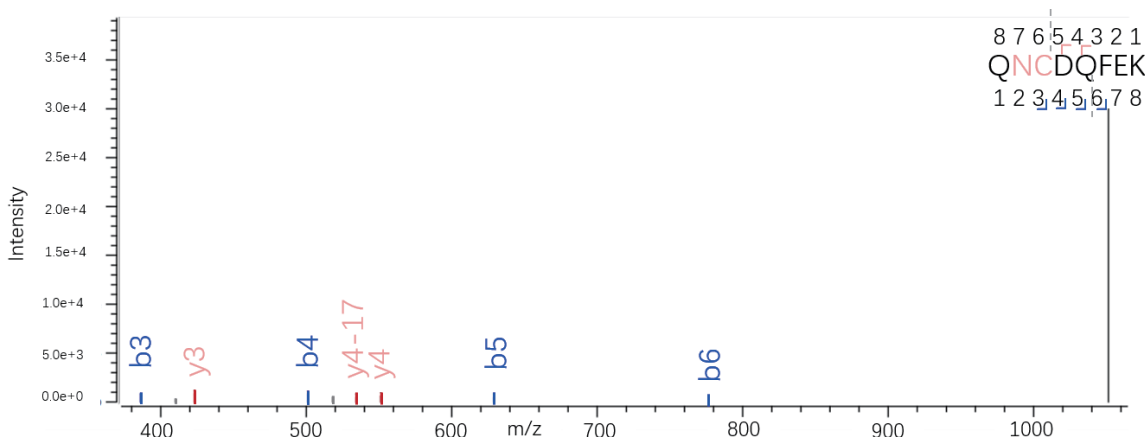


图6 K.QNCDQFEK.L 二级质谱图

3.3 蛋白质鉴别

牛蛋白质组序列 (Uniprot proteome_UP000009136.fasta)，包含了牛的所有蛋白质组，将其用于二级质谱数据归属研究。经 pFind 软件计算，该样品中识别到三个蛋白，均指向牛血清白蛋白，多肽覆盖度均大于 68%，如下图 7。以上结果表明，在复杂的蛋白组成体系下，牛血清白蛋白鉴定结果仍然准确可靠。

#	AC	DE	SQ Length	PSM Count	Coverage
1	sp P02769 ALBU_BOVIN	Albumin OS=Bos taurus OX=9913 GN=ALB PE=1 SV=4	607	1	69.7%
2	tr A0A3Q1LNN7 A0A3Q1LNN7_BOVIN	Albumin OS=Bos taurus OX=9913 GN=ALB PE=4 SV=1	576	1	68.2%
3	tr A0A140T897 A0A140T897_BOVIN	Albumin OS=Bos taurus OX=9913 GN=ALB PE=4 SV=1	607	1	71.2%

图 7 牛蛋白组匹配结果 (pFind)

同样地, 采用 Byonic 软件进行计算, 牛血清白蛋白 (BOVIN Album) 得分较高, 获得了 74.8% 的匹配度, 远远高于其他蛋白质, 定性匹配结果良好。如下图 8。

#	Prot. Rank	Protein Name	[Log Prob]	Best [Log Prob]	Best Score	# Spectra	# Uniq. Peps.	# Mod Peps.	% Cov.	# AAs	Intensity
1	1	>tr A0A140T897 A0A140T897_BOVIN Albumin OS=...	288.72	11.37	841.3	855	68	6	74.8	607	1.760e+8
2	2	>sp Q35ZR3 A1AG_BOVIN Alpha-1-acid glycoprot...	24.82	5.66	540.3	29	12	0	43.1	202	2.849e+5
3	3	>sp P15497 APOA1_BOVIN Apolipoprotein A-I OS...	16.30	4.63	432.1	13	8	0	31.7	265	5.289e+4
4	4	>sp Q2UVX4 CO3_BOVIN Complement C3 OS=Bos...	8.50	5.75	494.2	13	5	0	1.9	1661	1.692e+5
5	5	>sp P41361 ANT3_BOVIN Antithrombin-III OS=Bo...	3.58	3.55	383.8	3	2	0	3.2	465	1.999e+4
6	6	>tr F6RLA2 F6RLA2_BOVIN Testis specific serine ki...	2.91	2.91	412.2	1	1	0	2.5	326	3.322e+3
7	7	>tr A5PJH7 A5PJH7_BOVIN LOC788112 protein OS...	2.90	2.88	253.2	2	1	0	5.2	172	7.158e+3
8	8	>sp P02769 ALBU_BOVIN Albumin OS=Bos taurus ...	2.04	1.05	304.4	46	3	0	1.6	607	1.292e+6
9	9	>tr E1BH06 E1BH06_BOVIN C4a anaphylatoxin OS...	1.92	1.84	274.2	6	4	1	1.6	1741	4.090e+4
10	10	>tr A0A3Q1N2C2 A0A3Q1N2C2_BOVIN Uncharact...	1.85	1.83	259.3	2	1	0	2.2	316	8.088e+4
11	11	>sp Q3T0E2 SYCP3_BOVIN Synaptonemal complex...	1.84	1.62	319.2	14	2	0	5.3	225	1.537e+6
12	12	>sp Q58DT5 ELMD3_BOVIN ELMO domain-contain...	1.78	1.78	274.1	1	1	0	2.1	381	3.453e+4
13	13	>tr F1MDS0 F1MDS0_BOVIN Proteoglycan 4 OS=B...	1.63	1.63	261.4	1	1	0	0.7	1195	7.079e+3

图 8 牛蛋白组匹配结果 (Byonic)

结论

本文采用自下而上 (Bottom-up) 的研究策略, 对 BSA 进行了鉴定研究。BSA 样品经 LCMS-9030 分析, 经两种软件计算, PSM 匹配得分均大于 80%, 即使是在复杂蛋白组成体系中, PSM 也能获得 68% 或以上的匹配结果。同时, 对 BSA 翻译后修饰进行了研究, 除固定修饰乙酰胺化外, BSA 仅存在少量的 N-脱酰胺 (Deamidated) 等可变修饰, 可变修饰比例低于 3%。该方法简便, 准确, 适合蛋白组学或蛋白类药物的鉴别研究。

岛津应用云

